

Generatory zdarzeń do symulacji systemów webowych z wykorzystaniem TCPN

Andrzej BOŻEK, Tomasz RAK, Dariusz RZOŃCA

Katedra Informatyki i Automatyki
Politechnika Rzeszowska

28 maja 2025

Spis treści

- Wprowadzenie
- Podstawowe modele generatorów ¹
 - QPN
 - HTCPN
- Klasyfikacja modeli generatorów ²
 - Założenia
 - Implementacja
 - Przykład – wyniki symulacji
- Wnioski
- Cytowania, zastosowania, dalsze prace

¹Rak, T.; Rzońca, D. Recommendations for Using QPN Formalism for Preparation of Incoming Request Stream Generator in Modeled System. Appl. Sci. 2021, 11, 11532. <https://doi.org/10.3390/app112311532>

²Bożek, A.; Rak, T.; Rzońca, D. Timed Colored Petri Net-Based Event Generators for Web Systems Simulation. Appl. Sci. 2022, 12, 12385. <https://doi.org/10.3390/app122312385>

Generatory obciążenia

Różne podejścia

Curiel, M.; Pont, A. Workload Generators for Web-Based Systems: Characteristics, Current Status, and Challenges. IEEE Commun. Surv. Tutorials 2018, 20, 1526–1546.

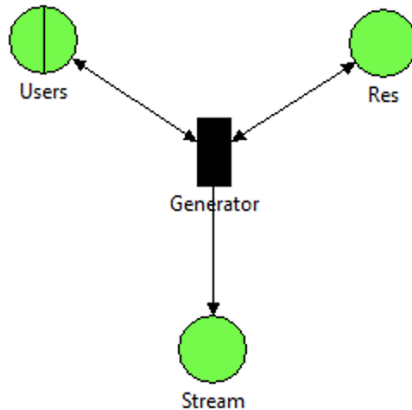
Magalhães, D.; Calheiros, R.N.; Buyya, R.; Gomes, D.G. Workload Modeling for Resource Usage Analysis and Simulation in Cloud Computing. Comput. Electr. Eng. 2015, 47, 69–81.

Gozhyj, A.; Kalinina, I.; Gozhyj, V.; Vysotska, V. Web Service Interaction Modeling with Colored Petri Nets. In Proceedings of the 2019 10th IEEE International Conference on Intelligent Data Acquisition and Advanced Computing Systems: Technology and Applications (IDAACS), Metz, France, 18–21 September 2019; Volume 1, pp. 319–323.

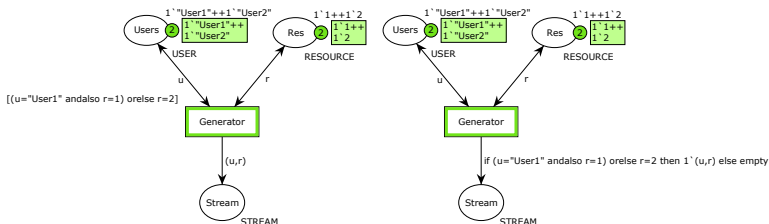
Gaur, N.; Joshi, P.; Jain, V.; Srivastava, R. Coloured Petri Nets Model for Web Architectures of Web and Database Servers. Int. J. Comput. Inf. Eng. 2015, 9, 2066–2075.

Kounev, S.; Lange, K.D.; von Kistowski, J. Systems Benchmarking: For Scientists and Engineers; Springer: Berlin/Heidelberg, Germany, 2020.

Ograniczenia w modelach QPN

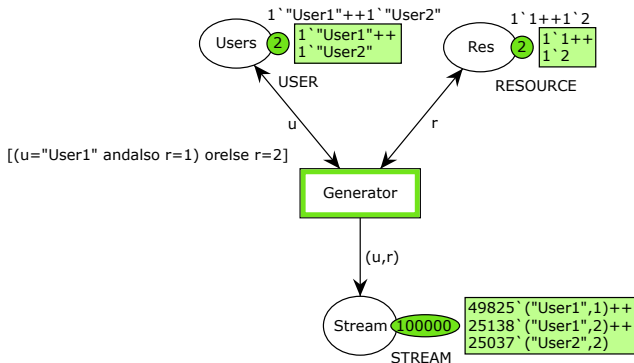


Ograniczenia w modelach CPN



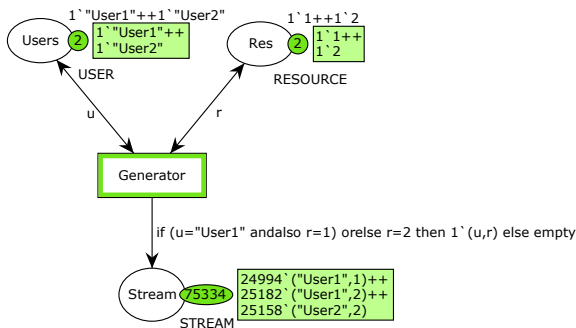
- Powiązanie użytkowników z zasobami inskrypcją w dozorcze
 - User1 może używać Res1 lub Res2, User2 tylko Res2
-
- Powiązanie użytkowników z zasobami inskrypcją na łuku
 - User1 może używać Res1 lub Res2, User2 tylko Res2

Wyniki symulacji – Generator strumieniowy 1 (Dozór)



- Przejście zostało odpalone 100 tys. razy
- Jedna z wygenerowanych par występuje częściej niż inne

Wyniki symulacji – Generator strumieniowy 2 (Łuk)



- Przejście zostało odpalane 100 tys. razy, ale tylko ~75 tys. tokenów zostało wygenerowanych
- Rozkład każdej pary jest równy

Spójna klasyfikacja generatorów

- Uwzględnienie upływu czasu
 - **Bezczasowe** – sieć jest bezczasowa (nie ma wymiaru czasu), albo wszystkie zdarzenia są generowane w czasie 0
 - **Czasowe** – zdarzenia są emitowane w różnych chwilach czasu
- Powtarzalność działania
 - **Deterministyczne** – każde powtórzenie symulacji generuje identyczne zdarzenia
 - **Stochastyczne** – niektóre parametry zdarzeń są warunkowane losowo i zmieniają się w kolejnych powtórzeniach symulacji

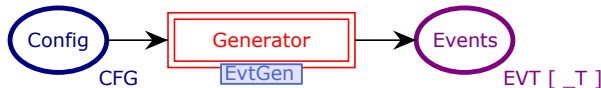
	deterministyczne	stochastyczne
bezczasowe	✓	✓
czasowe	✓	✓

Jednolity interfejs generatorów

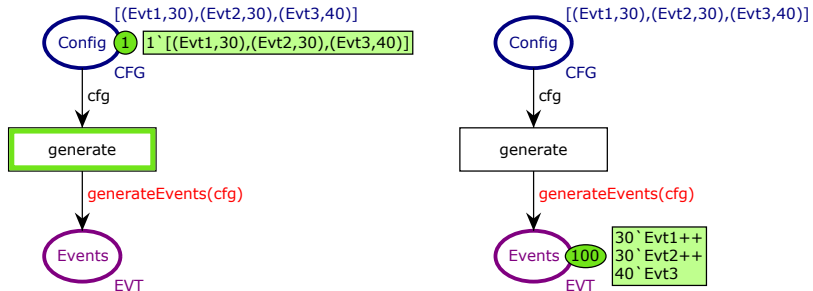
- Rodzaje zdarzeń są rozróżniane za pomocą dedykowanego zbioru kolorów EVT (bezczasowy) lub EVT_T (czasowy)
- Konfigurację generatora opisuje znakowanie początkowe miejsca Config

```
colset ECFG = product EVT * PARAMS;  
colset CFG = list ECFG;
```

- Wygenerowane zdarzenia są reprezentowane przez tokeny (typ EVT lub EVT_T) wprowadzane do miejsca Events



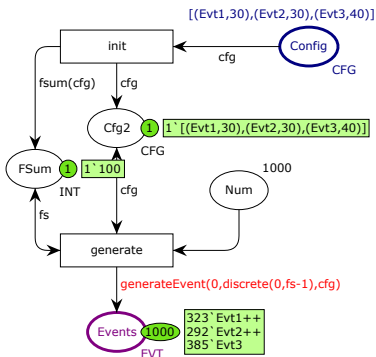
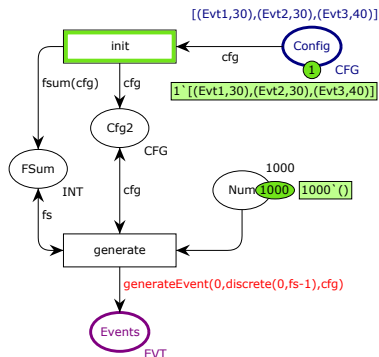
Generator bezczasowy deterministyczny



```
fun generateEvents([]) = empty  
| generateEvents((e,n)::r) = (n'e) ++ generateEvents(r);
```

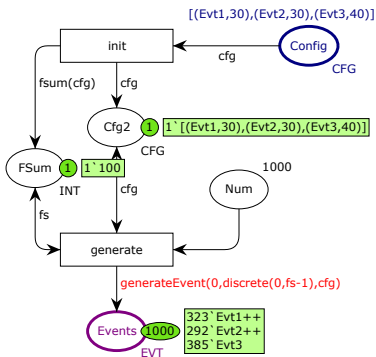
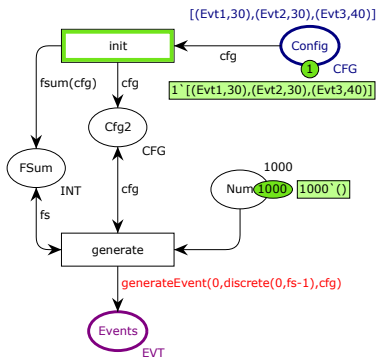
Funkcja `generateEvents` przekształca znakowanie konfiguracyjne na tokeny zdarzeń w odpowiedniej liczbie.

Generator bezczasowy stochastyczny



Liczby w znakowaniu miejsca Config reprezentują względną szansę wystąpienia danego zdarzenia. Wartość znakowania początkowego miejsca Num określa łączną liczbę zdarzeń.

Generator bezczasowy stochastyczny



```
fun fsum([]) = 0 | fsum((e,f)::r) = f+fsum(r);
```

```
fun generateEvent(c,s,[]) = empty | generateEvent(c,s,(e,f)::r)
  = if c<=s andalso c+f>s then 1`e else generateEvent(c+f,s,r);
```

Generator bezczasowy stochastyczny

Konfiguracja generatora

- znakowanie miejsca Config: $[(e_1, f_1), \dots, (e_i, f_i), \dots, (e_K, f_K)]$,
- znakowanie miejsca Num: N

Prawdopodobieństwo wygenerowania zdarzenia e_i wynosi

$$\pi_i = \frac{f_i}{\sum_{i=1}^K f_i}.$$

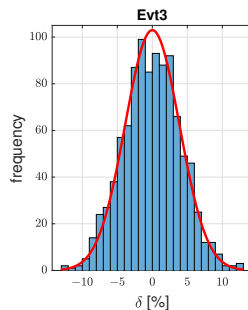
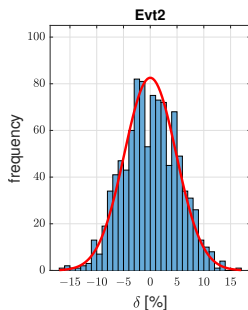
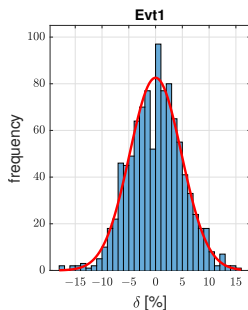
Liczba zdarzeń e_i wygenerowanych w N próbach jest zmienną losową o rozkładzie dwumianowym, który w granicy $N \rightarrow \infty$ dąży do rozkładu normalnego (w praktyce dla $N\pi_i > 5$) o parametrach

$$\mu_i = N\pi_i, \quad \sigma_i = \sqrt{N\pi_i(1 - \pi_i)}.$$

Generator bezczasowy stochastyczny

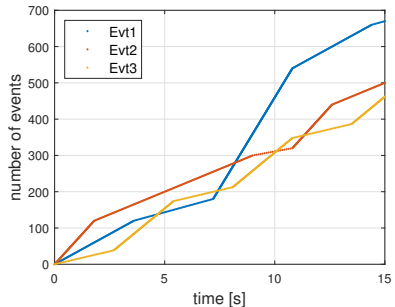
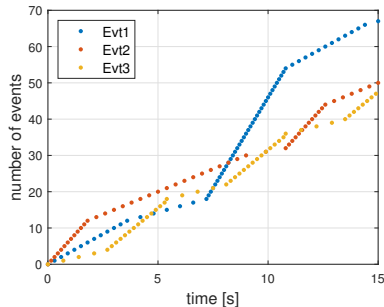
Przykład:

- 1000 powtórzeń dla konf. (Evt1,30) , (Evt2,30) , (Evt3,40)
- na wykresach odchyłki od wartości oczekiwanej liczby zdarzeń:
symulacja vs **rozkład normalny**

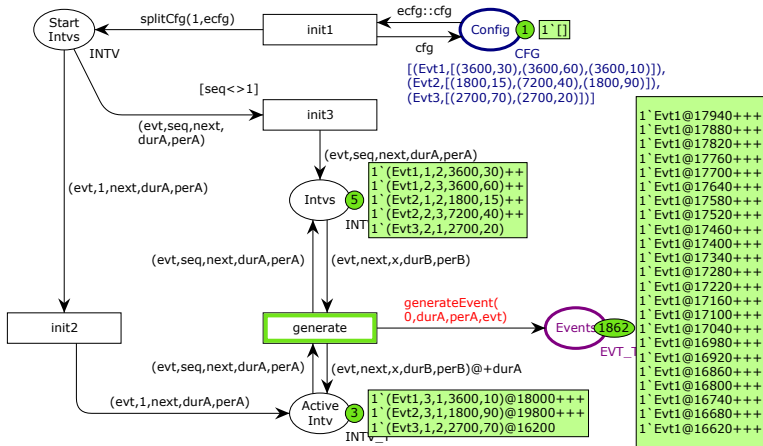


Generator czasowy deterministyczny

Dla każdego typu zdarzenia znakowanie miejsca konfiguracyjnego zawiera listę par (d, p) opisujących przedziały czasowe o stałej szybkości generowania. Wartość d reprezentuje długość przedziału, a p określa czas pomiędzy kolejnymi zdarzeniami. Po przetworzeniu wszystkich elementów listy generowanie powtarza się cyklicznie.



Generator czasowy deterministyczny



```

fun generateEvent(t,dur,per,evt) =
  if t<dur then (1'evt@+t)+++generateEvent(t+per,dur,per,evt) else empty

```

Generator czasowy deterministyczny

Dla znakowania konfiguracyjnego

$[\dots, (e_i, [(d_{i,1}, p_{i,1}), (d_{i,2}, p_{i,2}), \dots, (d_{i,j}, p_{i,j}), \dots, (d_{i,m_i}, p_{i,m_i})])], \dots]$

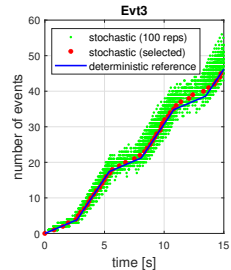
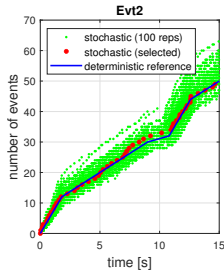
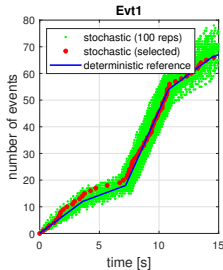
zdarzenie typu e_i jest generowane w chwilach należących do zbioru

$$\mathbb{T}_i = \bigcup_{g=0}^{\infty} \bigcup_{h=0}^{\left\lfloor \frac{-1+d_{i,(g \bmod m_i)+1}}{p_{i,(g \bmod m_i)+1}} \right\rfloor} \left\{ hp_{i,(g \bmod m_i)+1} + \sum_{k=1}^{m_i} \left\lfloor \frac{m_i+g-k}{m_i} \right\rfloor d_{i,k} \right\}.$$

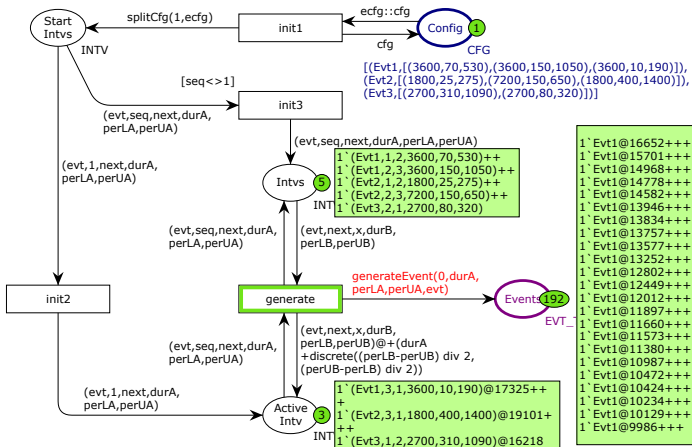
Generator czasowy stochastyczny

Model jest podobny do deterministycznego, główne różnice:

- Znakowanie konfiguracyjne nie określa stałego czasu pomiędzy zdarzeniami, ale ograniczenia dolne a i górne b tej wartości
- Funkcja `generateEvent` losuje odstępy pomiędzy kolejnymi zdarzeniami z rozkładem $\mathcal{U}_D(a, b)$



Generator czasowy stochastyczny



```

fun generateEvent(t,dur,perL,perU,evt) = if t<dur then (1'evt@+t)
++generateEvent(t+discrete(perL,perU),dur,perL,perU,evt) else empty

```

Obsługa zleceń w kolejce FIFO

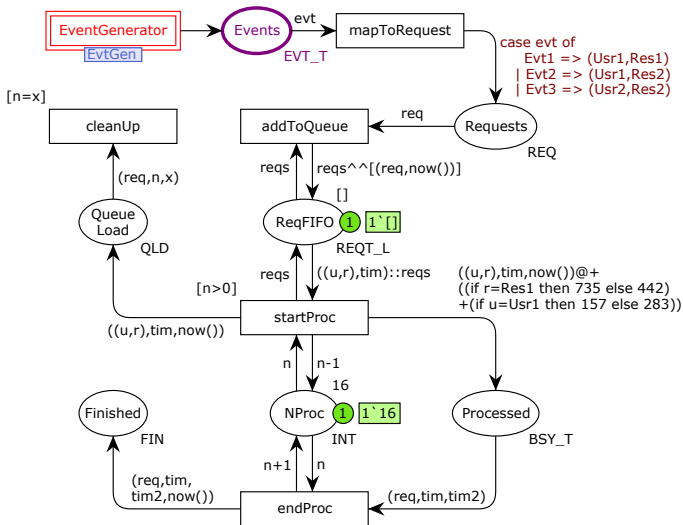
Budowa i parametry badanego systemu

- Generowane zdarzenia reprezentują żądania wysyłane do systemu (np. webowego) – gen. **czasowy stochastyczny**
- Każde żądanie jest reprezentowane przez parę (U_{sr}, Res), która determinuje czas obsługi
- Żądania są obsługiwane przez $NProc$ identycznych procesorów
- Przy braku wolnych procesorów nowe żądania są kolejgowane w trybie FIFO

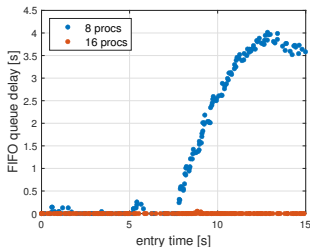
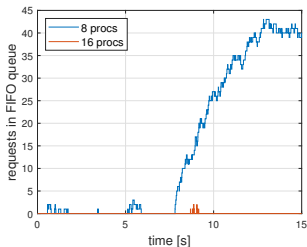
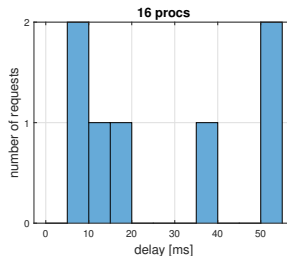
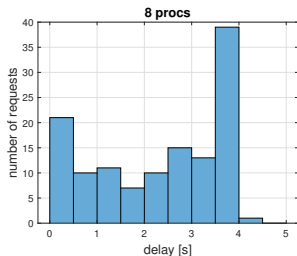
Analiza symulacyjna, np.

- Wpływ parametrów strumienia żądań na jakość obsługi
- Czas obsługi żądań zależnie od liczby procesorów

Obsługa zleceń w kolejce FIFO – model HTCPN



Obsługa zleceń w kolejce FIFO – wyniki symulacji



Wnioski

- Zaproponowano klasyfikację generatorów zdarzeń, która porządkuje ich warianty pod względem najważniejszych cech. Zaimplementowano przykłady wszystkich czterech wariantów.
- Zaprojektowano jednolity interfejs HTCPN dla generatorów, ułatwiający ich konfigurację i łączenie z innymi częściami modelowanych systemów.
- Znakowanie początkowe konfigurujące generatory może określać: typy generowanych zdarzeń, liczbę zdarzeń, parametry statystyczne emisji zdarzeń (gen. stochastyczne), parametry czasowe, np. odstęp pomiędzy emisjami (gen. czasowe).
- Jeden z opracowanych generatorów (czasowy stochastyczny) został zastosowany do symulacyjnego zbadania efektywności działania systemu obsługi zleceń dla różnej liczby procesorów.

Cytowania

Bożek, A.; Rak, T.; Rzońca, D. Timed Colored Petri Net-Based Event Generators for Web Systems Simulation. Appl. Sci. 2022, 12, 12385. <https://doi.org/10.3390/app122312385>

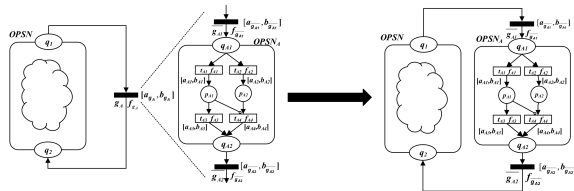
Artykuły

- Xia, C.; Qin, M.; Sun, Y.; Guo, M. Property Analysis of Gateway Refinement of Object-Oriented Petri Net with Inhibitor-Arcs-Based Representation for Embedded Systems. Electronics 2023, 12, 3977. <https://doi.org/10.3390/electronics12183977>
- Geng, R., Lin, Q., Liu, J., Huang, G., Guo, Q.: Modeling and analysis of transport behavior of custom furniture QC assembly line, Journal of Forestry Engineering, 2024, 9(4), pp. 185-192. <https://doi.org/10.13360/j.issn.2096-1359.202311006>
- Bortoloto, E.R.; Bizarria, F.C.P.; Bizarria, J.W.P. Petri Nets Applied in Purge Algorithm Analysis for a Rocket Engine Test with Liquid Propellant. Aerospace 2023, 10, 212. <https://doi.org/10.3390/aerospace10030212>

Monografia

- Romansky, R. P.; Hinov, N. L.: Deterministic and Stochastic Approaches in Computer Modeling and Simulation. IGI Global, 2023. <https://doi.org/10.4018/978-1-6684-8947-5>

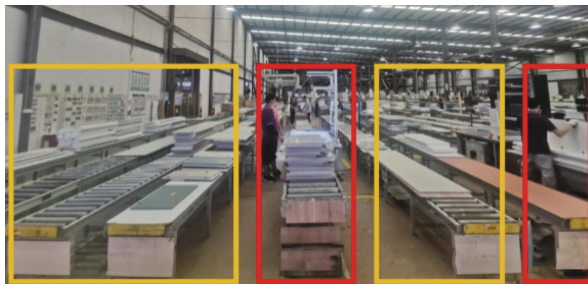
Nowy rodzaj sieci – OOPIRES+



- Propozycja sieci OOPIRES+ (*object-oriented Petri net with inhibitor-arcs-based representation for embedded systems*)
- Rozszerzenie sieci PIRES+, bramka jest modelowana pewną podsiecią zachowując własności formalne (żywość, ograniczoność, osiągalność, itd.)

Xia, C.; Qin, M.; Sun, Y.; Guo, M. Property Analysis of Gateway Refinement of Object-Oriented Petri Net with Inhibitor-Arcs-Based Representation for Embedded Systems. Electronics 2023, 12, 3977. <https://doi.org/10.3390/electronics12183977>

Zastosowania – model linii montażowej



- Zastosowanie sieci Petriego do modelowania przemysłowej linii montażowej

Geng, R., Lin, Q., Liu, J., Huang, G., Guo, Q.: Modeling and analysis of transport behavior of custom furniture QC assembly line, Journal of Forestry Engineering, 2024, 9(4), pp. 185-192.
<https://doi.org/10.13360/j.issn.2096-1359.202311006>

Zastosowania – *rocket science*



- Zastosowanie sieci Petriego do analizy algorytmu wykorzystywanego podczas testowania silników rakietowych

Bortoloto, E.R.; Bizarria, F.C.P.; Bizarria, J.W.P. Petri Nets Applied in Purge Algorithm Analysis for a Rocket Engine Test with Liquid Propellant. *Aerospace* 2023, 10, 212.
<https://doi.org/10.3390/aerospace10030212>